

НИТЕВИДНАЯ ГЕТЕРОСТРУКТУРА ДЛЯ
ИНЖЕКЦИОННЫХ ЛАЗЕРОВ

П. Г. Елисеев

УДК 621.378.35

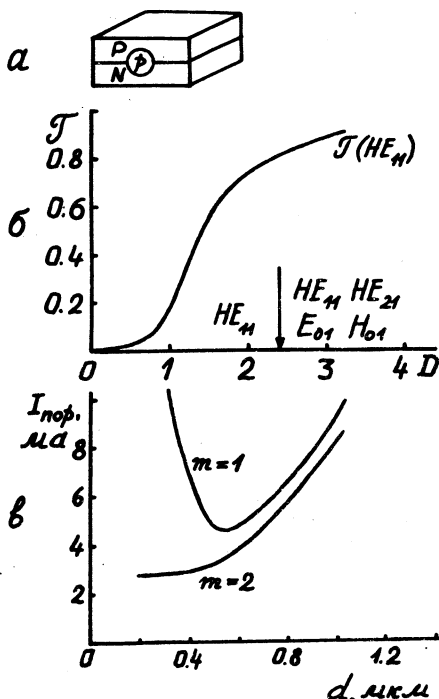
Рассмотрена гетероструктура в виде тонкого цилиндра узкозонного материала, лежащего между n- и p-областями более широкозонного материала. В лазере на такс* гетероструктуре возбуждается пространственная мода, удобная для согласования со стекловолокном, причем ожидается, что порог при 300 К составляет 3-5 мв.

Для целей оптической связи и оптоэлектроники разрабатываются инжекционные лазеры с полосковой геометрией, в которых применяются разные способы ограничения активной области /1-4/.

Здесь рассмотрена гетероструктура специального типа, обладающая рядом преимуществ в применении к инжекционным лазерам. Активная область представляет собой тонкий цилиндр узкозонного материала с проводимостью р-типа, заключенного в широкозонный материал между слоями n- и p-типа (см.рис. 1а). В этом случае р-п переход образуется частично между широкозонными областями и частично между узкозонной р-областью и широкозонной n-областью. Можно показать, что при приложении прямого смещения плотность тока через узкозонную часть может быть много больше, чем через широкозонную часть р-п перехода. Такая структура является частным случаем р-п перехода с переменной контактной разностью потенциалов. Остановимся кратко на свойствах таких р-п переходов. На рис. 2б приведена энергетическая схема зон вокруг тройного контакта, показанного на рис. 2а по контуру, обозначенному стрелкой. Можно видеть, что при прямом смещении (рис. 2в) зарьер для инжекции в узкозонную р-область заметно меньше, чем в широкозонную. Это определяется различием в сродстве к электрону в материалах, составляющих гетероструктуру. Схемы на рис. 2 соответствуют GaAs в качестве узкозонного компонента и $Al_xGa_{1-x}As$

в качестве широкозонного. Для этого случая в невырожденном р-п переходе отношение плотности тока через узкозонную область j_{pN} к плотности через широкозонную j_{PN} составит

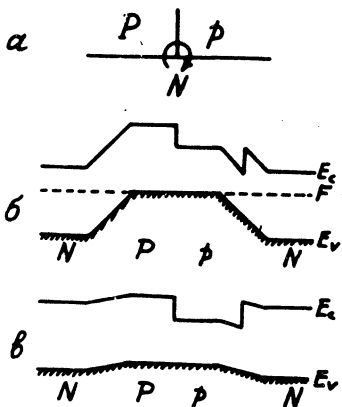
$$\xi = (j_{pN}/j_{PN}) = \exp(\Delta\psi/kT), \quad (I)$$



Р и с. I. Схема лазерного диода (а), зависимость коэффициента оптического ограничения Γ от приведенного диаметра D (б), и зависимость порога генерации при 300°K от диаметра активного стержня (в)

где $\Delta\psi$ – различие контактной разности потенциалов. В области вырождения имеют место отклонения от простой экспоненты (I), так что в конечном итоге при очень большом смещении отношение ξ уменьшается. Таким образом, гетероструктура с переменной контактной разностью потенциалов обладает следующими полезными свойствами

ствами. 1) В широком интервале прямых смещений инжекция происходит исключительно через узкозонное "окно" р-п перехода. Благодаря этому можно возбуждать выбранный участок диода, не затрагивая другие. В электролюминесцентных приборах это позволит произ-



Р и с. 2. Зонные диаграммы переходов вблизи линии тройного контакта (схема а) следующих областей: широкозонной N-области, широкозонный P-области и узкозонной р-области. Зонные диаграммы без смещения (б) и при прямом смещении (в) соответствуют обходу в направлении стрелки на схеме а

водить управление излучающим пятном с помощью смещения. 2) При большом смещении возрастающая часть тока идет через широкозонную область, что ведет к отводу перегрузки от узкозонной части и, таким образом, обеспечивается защита выбранного участка от разрушения.

В нашем случае эти преимущества могут быть полезно использованы для создания "микролазеров" инжекционного типа. Если диаметр активного цилиндра меньше диффузационной длины инжектированных носителей тока, то в нем может быть легко достигнуто практически однородное возбуждение. Диффузии инжектированных носителей из активного цилиндра, как и в двусторонних гетероструктурах, препятствует электронное ограничение. С другой стороны,

активный цилиндр образует диэлектрический волновод. Если его диаметр меньше критического значения

$$d_{kp} = 2,4\lambda / (\pi/\epsilon_1\mu_1 - \epsilon_2\mu_2), \quad (2)$$

где ϵ и μ - диэлектрическая и магнитная проницаемости среды внутри (1) и вне (2) волновода, то в лазере возбуждается единственный тип колебаний НЕ_{II} /5/. Параметр Г оптического ограничения /6/ в зависимости от приведенного диаметра волновода D для НЕ_{II}-волн дан на рис. Iб. Приведенный диаметр определяется формулой $D = (\pi d/\lambda)(\delta\epsilon/\epsilon)^{1/2}$, где $\delta\epsilon = (\epsilon_1 - \epsilon_2)$ - скачок диэлектрической проницаемости на границе активного слоя. При $D > 2,4$ возможно возбуждение пяти поперечных типов колебаний /5/, обозначения которых даны на рис. 2б. Используя зависимость Г(Д) можно рассчитать пороговый ток для такого микролазера и его оптимальный диаметр d_{opt} . Как и в плоской гетероструктуре, оптимальный диаметр зависит от вида зависимости оптического усиления от тока накачки. Далее рассматриваются два случая степенной зависимости с показателем m - линейная и квадратичная. Величина порогового тока I составит

$$I = (1/4)A\pi d^2 L \Gamma^{-1/m}, \quad (3)$$

где A - коэффициент пропорциональности между пороговой плотностью тока и толщиной активного слоя в плоских гетероструктурах, L - длина резонатора. Зависимость $I(d)$, показанная на рис. Iв, имеет минимум 5 ма при $d = 0,5$ мкм, если $m = 1$. Если же $m = 2$, то порог монотонно убывает примерно до 3 ма с уменьшением d . В расчете было принято $(\delta\epsilon/\epsilon) = 0,04$, $A = 5 \cdot 10^7$ а/см³, $L = 0,2$ мм. Микролазер такого типа может быть без потерь согласован с одномодовым или многомодовым волоконным световодом.

Поступила в редакцию
25 декабря 1973 г.

Л и т е р а т у р а

1. J. C. Dymont. Appl. Phys. Letts., 10, 84 (1967).
2. А. П. Богатов и др. ФТШ, 6, 43 (1972).
3. П. Г. Елисеев, В. П. Страхов. Письма КЭТФ, 16, 606 (1972).

активный цилиндр образует диэлектрический волновод. Если его диаметр меньше критического значения

$$d_{kp} = 2,4\lambda / (\pi/\epsilon_1\mu_1 - \epsilon_2\mu_2), \quad (2)$$

где ϵ и μ - диэлектрическая и магнитная проницаемости среды внутри (1) и вне (2) волновода, то в лазере возбуждается единственный тип колебаний НЕ_{II} /5/. Параметр Г оптического ограничения /6/ в зависимости от приведенного диаметра волновода D для НЕ_{II}-волны дан на рис. 1б. Приведенный диаметр определяется формулой $D = (\pi d/\lambda)(\delta\epsilon/\epsilon)^{1/2}$, где $\delta\epsilon = (\epsilon_1 - \epsilon_2)$ - скачок диэлектрической проницаемости на границе активного слоя. При $D > 2,4$ возможно возбуждение пяти поперечных типов колебаний /5/, обозначения которых даны на рис. 2б. Используя зависимость Г(D) можно рассчитать пороговый ток для такого микролазера и его оптимальный диаметр d_{opt} . Как и в плоской гетероструктуре, оптимальный диаметр зависит от вида зависимости оптического усиления от тока накачки. Далее рассматриваются два случая степенной зависимости с показателем m - линейная и квадратичная. Величина порогового тока I составит

$$I = (1/4)A\pi d^2 L^{m-1/m}, \quad (3)$$

где A - коэффициент пропорциональности между пороговой плотностью тока и толщиной активного слоя в плоских гетероструктурах, L - длина резонатора. Зависимость I(d), показанная на рис. 1в, имеет минимум 5 ма при $d = 0,5$ мкм, если $m = 1$. Если же $m = 2$, то порог монотонно убывает примерно до 3 ма с уменьшением d. В расчете было принято $(\delta\epsilon/\epsilon) = 0,04$, $A = 5 \cdot 10^7$ а/см³, L = 0,2 мм. Микролазер такого типа может быть без потерь согласован с одномодовым или многомодовым волоконным световодом.

Поступила в редакцию
25 декабря 1973 г.

Л и т е р а т у р а

1. J. C. Dymont. Appl. Phys. Letts., 10, 84 (1967).
2. А. П. Богатов и др. ФТШ, 6, 43 (1972).
3. П. Г. Елисеев, В. П. Стреков. Письма ЖЭТФ, 16, 606 (1972).